

技術資料

UDC 620.183.27 : 669.14

電気化学的方法による金属組織の顕出法*

藤井 哲雄**

Metallographic Etching by Means of Electrochemical Method

Tetsuo FUJII

1. はじめに

金属の研究に顕微鏡を用いたのは1864年頃、英国のSORBYが隕鉄表面を観察したのにはじまるとしている。その後、試料を研磨したままで鋳鉄中の黒鉛や酸化物を識別したり、研磨抵抗の差によつてできる起伏の観察(Relief-Etching)が行なわれた。試料をバーナーにかざしてできる酸化膜の色模様を観察する加熱着色法(Heat-Tinting)も早くから試みられている。1883年ごろにはOSMONDが研磨液に草根の抽出液を混ぜることによつてかすかにエッティングされるのを認め、この方法はエッティング研磨(Polish Attack)と呼ばれるようになつた。ついでMARTENS、HEYNSらは塩酸や硝酸のアルコール溶液を、ISCHEWSKIはピクリン酸のアルコール溶液を用いて銅の組織を顕出するようになり、以来エッティング法は金相学の発展に多大な貢献をなし、電子顕微鏡をはじめミクロ組織を観察するためのいろいろな手段を有する今日でも組織顕出の常套手段として、その重要性が失われたわけではない。例えば鋼塊の凝固組織を制御するための研究において初晶組織や偏析を明りように現わすことが研究進行上の鍵となつてゐる。最近、日本鉄鋼協会の鉄鋼基礎共同研究会凝固部会によって凝固組織の顕出に用いられている腐食液や使用例について調査されている¹⁾。その結果によると、きわめて多種類の腐食液が使用され、エッティング操作も経験にもとづいたいろいろな工夫がこらされており組織顕出上の苦心がうかがわれる。

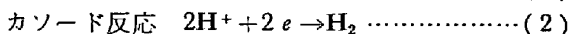
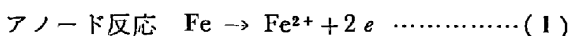
従来金属組織のエッティングはおもに金相学に携わる人達によつて試行錯誤的、ないし経験的に発展してきたため、腐食液の系統的な分類やエッティング機構に関する電気化学的あるいは腐食学的な検討はそれまでほとんど行なわれなかつた。1950年代になつてポテンショスタット(定電位電解装置)が開発され、金属腐食の研究を飛躍的に発展せしめたが、同時に金属組織顕出法への利用につ

いてもEDELEANU²⁾を始めとしてPRAZAK³⁾、岡本ら⁴⁾によつて試みられ、ステンレス鋼を始めとする高合金鋼の示差エッティングを可能にした。最近では、エッティング手法は単に光学顕微鏡による組織観察のためばかりでなく、電子顕微鏡観察のためのエッティング操作、鋼中の炭化物や窒化物の分離抽出、転位との一対一の対応を求めるためのエッチャピットの作成、あるいはフラクトグラフィーにおける破断面の結晶方位を決定するためのエッチャピットの作成など材料研究の各方面に利用が広がつてゐる。今日のように、工業、技術の高度化に伴つて、目的、用途に応じた多種類の、しかも複雑な組織を有する合金が開発されるようになると、従来のような“try and error”的な方法に代わつて系統的なエッティング手段が必要になつてくる。そこで本文では再現性のよい系統的な組織顕出をめざしたポテンショスタットによる定電位エッティング法についてこれまでの研究成果を紹介し、従来から行なわれている化学エッティングの機構および定電位エッティングとの関連について述べたいと思う。

2. ポテンショスタットによる定電位エッティング

2.1 エッティングの電気化学的機構

金属組織を顕出するためのエッティングは腐食現象そのものであり、エッティング特性を知る上で金属腐食の電気化学反応機構を理解しておくのが便利である。いま、最も単純な系として希塩酸溶液中に浸漬した鉄の腐食の場合について考えてみよう。図1に示すように、希塩酸溶液に鉄片を浸漬すると鉄の腐食とともに水素ガスが発生する。これは、



両電極反応が同時に当量的に起こつたためである(簡単のため溶液中の溶存酸素の影響を考えないこととする)。実際の腐食において溶存酸素濃度は腐食速度を左右する

* 昭和51年1月16日受付 (Received Jan. 16, 1976) (依頼技術資料)

** 金属材料技術研究所 工博 (National Research Institute for Metals, 2-3-12, Nakameguro Meguro-ku Tokyo 153)

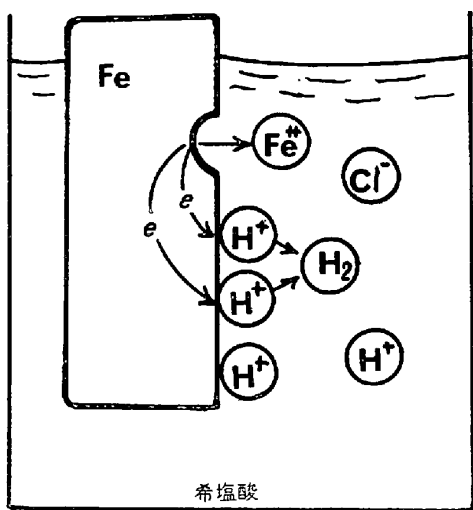


図1 希塩酸溶液中における鉄の腐食
(脱酸素下)

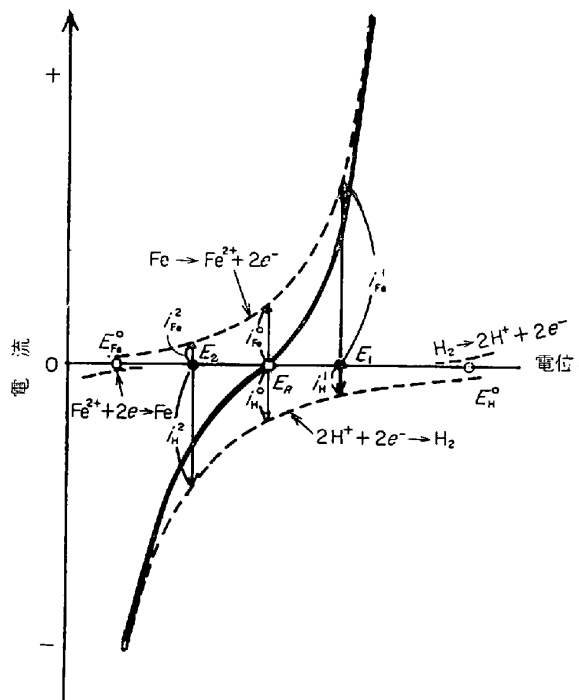


図2 分極曲線模式図

重要な因子である)。この関係を電位-電流曲線、すなわち分極曲線で表わすと図2に示すごとくなる。一般に電位と電流の関係は指数曲線を描き、アノードおよびカソード反応は図中の点線で示されている。試料を浸漬したままの状態では(1)式のアノード反応および(2)式のカソード反応速度は等しく($i_{Fe}^0 = i_H^0$)、 E_R で表わされる電位(腐食電位または自然電位と呼ぶ)にとどまっている。つまり i_F^0 の速度で鉄は腐食し、 i_H^0 の速度で水素ガスが発生している。いま、溶液中にもう一つの電極(例えば白金の対極)を導入し、外部電源を用いて電位を貴方向(図2において右方向)に高めたとする。例えれば E_1

に分極した場合は(1)式のアノード反応電流は i_F^0 から i_F^1 に増大し、逆に(2)式のカソード電流は i_H^0 から i_H^1 に減ずる。したがつて、この操作によつてエッティングは促進されることになる。この場合、 $i_{Fe}^0 - i_H^0$ が電流計によつて実測可能な電流で図2においては太実線との交点で示される。一方、電位を卑方向に移し、 E_2 に分極すると i_{Fe}^0 は減じ、 i_H^0 は増大する。すなわち、エッティング速度は減じ、カソード防食される。なお、ここで液に浸漬したままの、いわゆる自然電位 E_R は(1)式および(2)式の熱力学的に求まる平衡電位 E_F^0 や E_H^0 とは異なることが知られよう。さて、このように E_R から E_1 または E_2 への分極操作は外部電源を用いて定電流を印加するか、ポテンショスタットを用いて行なわれる。

ところで、多相合金の示差エッティングは特定の相のみを選択的に溶解させることである。もし、ある相の溶解速度が電極電位にのみ依存し、共存する他の合金相に依存しないならば、あらかじめ種々の相について電位と溶解速度の関係をもとめておくことにより、示差エッティングに最適な電位を簡単に知ることができる。GREENEら⁶⁾はこのような考えをもとにZn-Sn合金を用いてこれを立証しようと試みている。その結果によると、1N-NaOH溶液中ではポテンショスタットを用いた定電位エッティング、定電流電解エッティング、および酸化剤としてH₂O₂を添加した化学エッティングのいずれの方法によつても試料の電位が同じであれば、得られるエッティング像も同じであることを認めた。この事実はポテンショスタットを用いることによつて合金の系統的なエッティングの可能性を示すものである。しかしながら、相互に固溶しないZn-Sn系に較べて、ステンレス鋼のように α および γ 相中のFe、Cr、Ni量が広範囲に変化しうる系ではこのように簡単ではなく、なお検討すべき問題点が多いことは後述するとおりである。

2.2 電解装置

図3はポテンショスタットを用いた定電位エッティング法の模式図である。ポテンショスタットからは3本の端子が出ており、これらを図のように試料、対極、および基準電極(または照合電極と呼ぶ)に接続する。基準電極は内部抵抗の高い回路に接続され、電解時においてもほとんど電流が流れないようになつており常に一定電位を与える。基準電極として一般に飽和カロメル電極が用いられている(25°Cにおける飽和カロメル電極の電位は標準水素電極に対して+0.245Vである)。この電極は飽和KCl溶液に浸されているので、電解液によつては直接これを電解液につけることは好ましくない。そこで試料面との間をルギンキャピラリーを有する塩橋によつて液の連絡をはかる。塩橋の片側はKClを飽和させた寒天をつめ、もう一方から試験液を吸い上げて液を連絡する。いま、試料を鉄とし希塩酸中に浸漬すると、図2の E_R で示した自然電位が測定される。ついで、 E_1

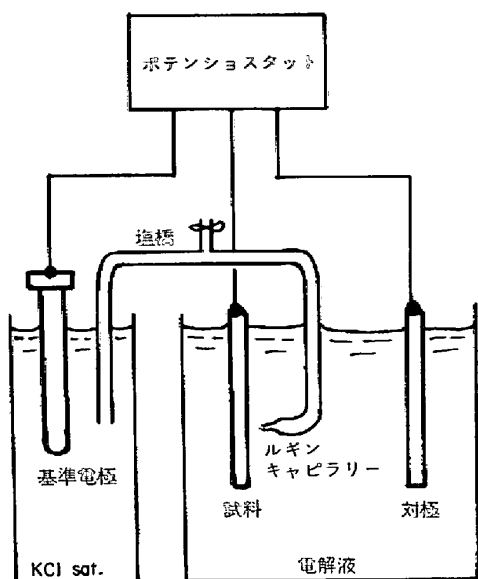


図3 ポテンショスタットを用いた定電位エッティング装置の模式図

に電位を設定し、ポテンショスタットを働かせると、 $i_F^1 - i_H^1$ の電流が実測される。このようにして各電位に対応した電流をもとめれば図2の実線のごとき分極曲線がえられることになる。

さて、図3に示した装置はビーカーを用いて簡単な腐食実験で一般に用いられるものであるが、試料にリード線を接続したり、エッティングしない部分に絶縁被覆をほどこすなど面倒な手続を要するので、定電位エッティングを手軽に利用できるようにするにはこの点の工夫が必要であろう。LÜDERING⁶⁾は倒立型顕微鏡の試料ステージと同様な原理により、エッティングしようとする部分のみが溶液に接するようにし、ステージの下にU字型の電解槽を設けた装置を考案している。

2.3 Fe-Cr-Ni系

ポテンショスタットによる定電位エッティングはステンレス鋼や高合金鋼など化学エッティングの困難な系に対して有効とされている。図4はポテンショスタットを用いて稀硫酸溶液中でえられる18-8ステンレス鋼の典型的なアノード分極曲線である⁴⁾。横軸は電位、たて軸は電流でエッティング速度に対応したものとみてよい。同図の実線において $-0.5 \sim 0 V_H$ (標準水素電極基準)にみられる電流の山はステンレス鋼の活性溶解を示す領域で、 Fe^{2+} , Cr^{3+} , Ni^{2+} イオンとなつて溶解する。この領域は図2における E_R より貴な電位域の実線と同じ意味を有する。 $0 \sim +1.0 V_H$ の範囲は不働態域で事实上エッティング不可能な領域である。さらに $+1.0 V_H$ 付近の電流の立ち上りは Cr^{6+} としての溶解がはじまることを示し、そのあといつたん二次不働態化により電流が減じたのち酸素発生反応により再び電流が増大する。したがつて、エッティングは活性態域か過不働態域に保持したときのみ可

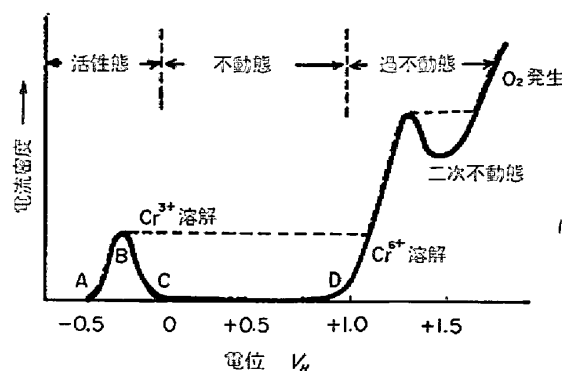


図4 硫酸溶液中における18-8ステンレス鋼のアノード分極曲線⁴⁾

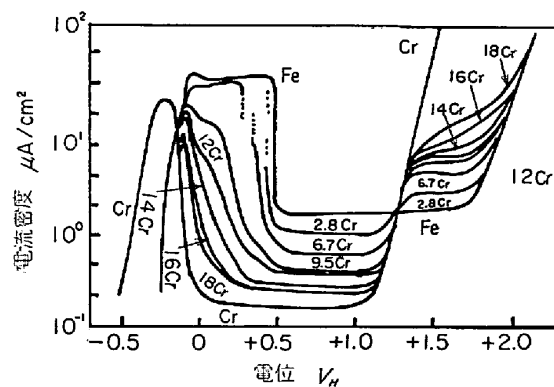
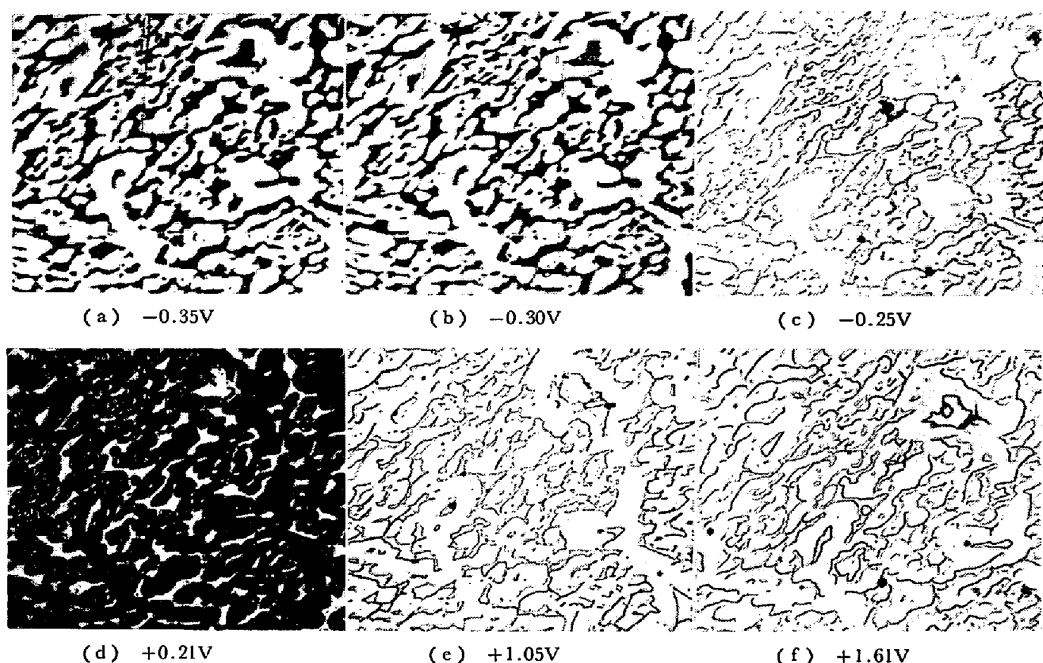
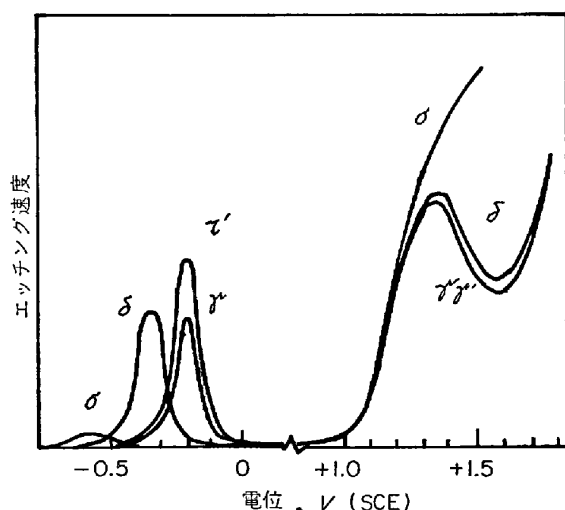


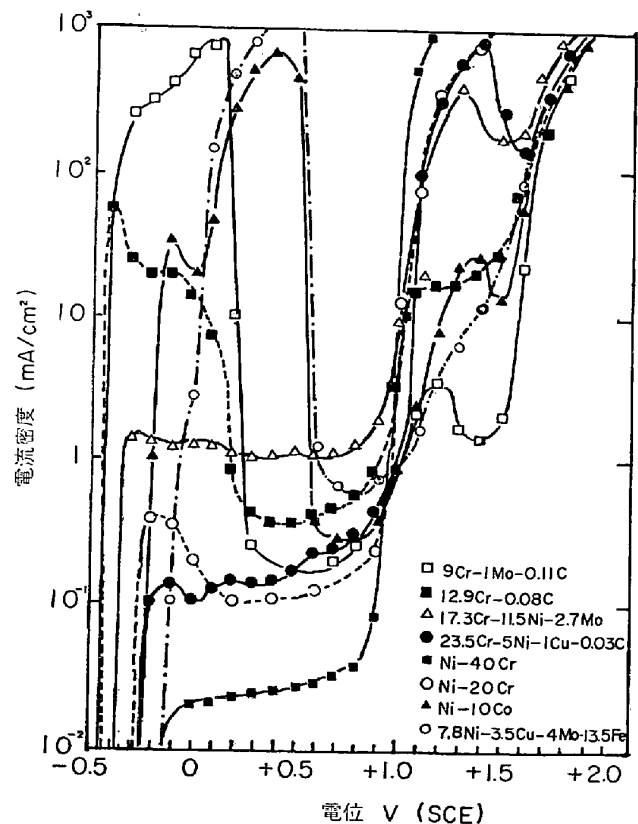
図5 硫酸溶液中におけるFe-Cr合金のアノード分極曲線⁶⁾

能になる。なお図4の点線は定電流法により電流を順次高めていった場合にえられる分極曲線でこの方法では不働態域の情報がえられないことは明らかであろう。図5は1N- H_2SO_4 中のアノード分極曲線に及ぼすFe-Cr合金組成の影響を求めた結果である⁷⁾。活性態においてはCr量が低いほど溶解速度は大きい、逆に過不働態域ではCr量が高いほど溶解速度が大きい。このことから活性態ではフェライト相が選択的にエッティングされ、過不働態域では α 相のごときCr濃度の高い相が優先的に溶解することが予測される。写真1⁴⁾は18Cr-12Ni-3Mo-4Si系の多相ステンレス鋼について0.01% NH_4SCN を含む1N- H_2SO_4 中で各電位に保持してえられた組織写真を示し、 -0.35V (SCE)では δ 相(フェライト)が強くエッチされ黒く見える。 -0.21V では γ 相がエッチされるが、 δ 相は光沢を呈する。 $+1.05\text{V}$ では両相のエッティング速度はほぼ等しく、両相の輪かくによつて結晶粒界が区別される⁴⁾。これらの結果をもとに18Cr-12Ni-Mo-Si鋼の各相のエッティング速度に及ぼす電位の影響を模式的に示したのが図6である⁴⁾。同図から、特定な相を選択的にエッチする、いわゆる示差エッティングの可能な電位域が知られよう。図7は鉄鋼基礎共同研究会凝固部会から凝固組織の検出が比較的困難なものとして提供された8種類の試料の1N H_2SO_4 溶液中におけるア

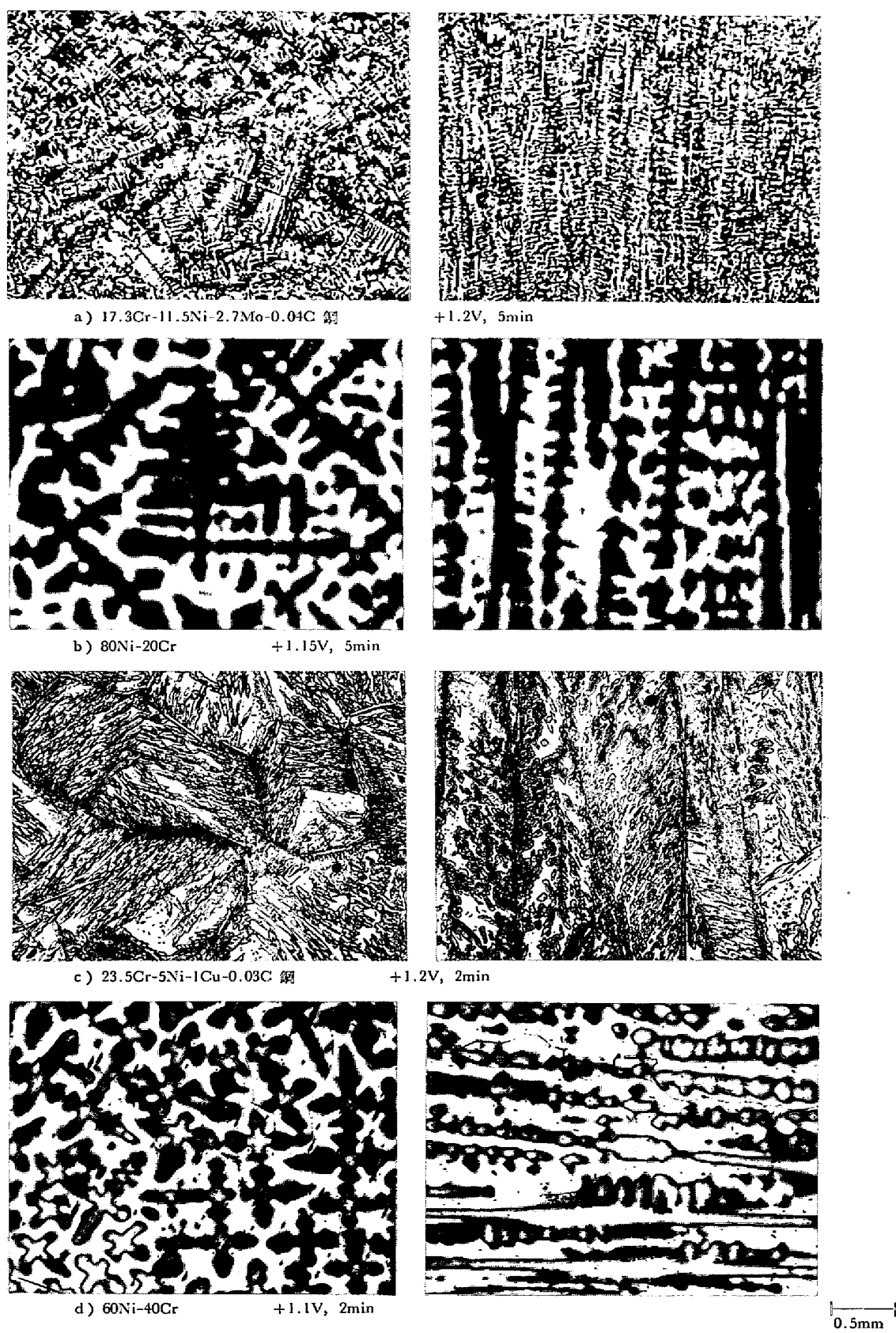
写真1 0.01% NH₄SCN を含む 1N-H₂SO₄ 中における 18Cr-12Ni-Mo-Si 鋼の定電位エッティング⁴⁾図6 エッティング速度の電位依存性⁴⁾

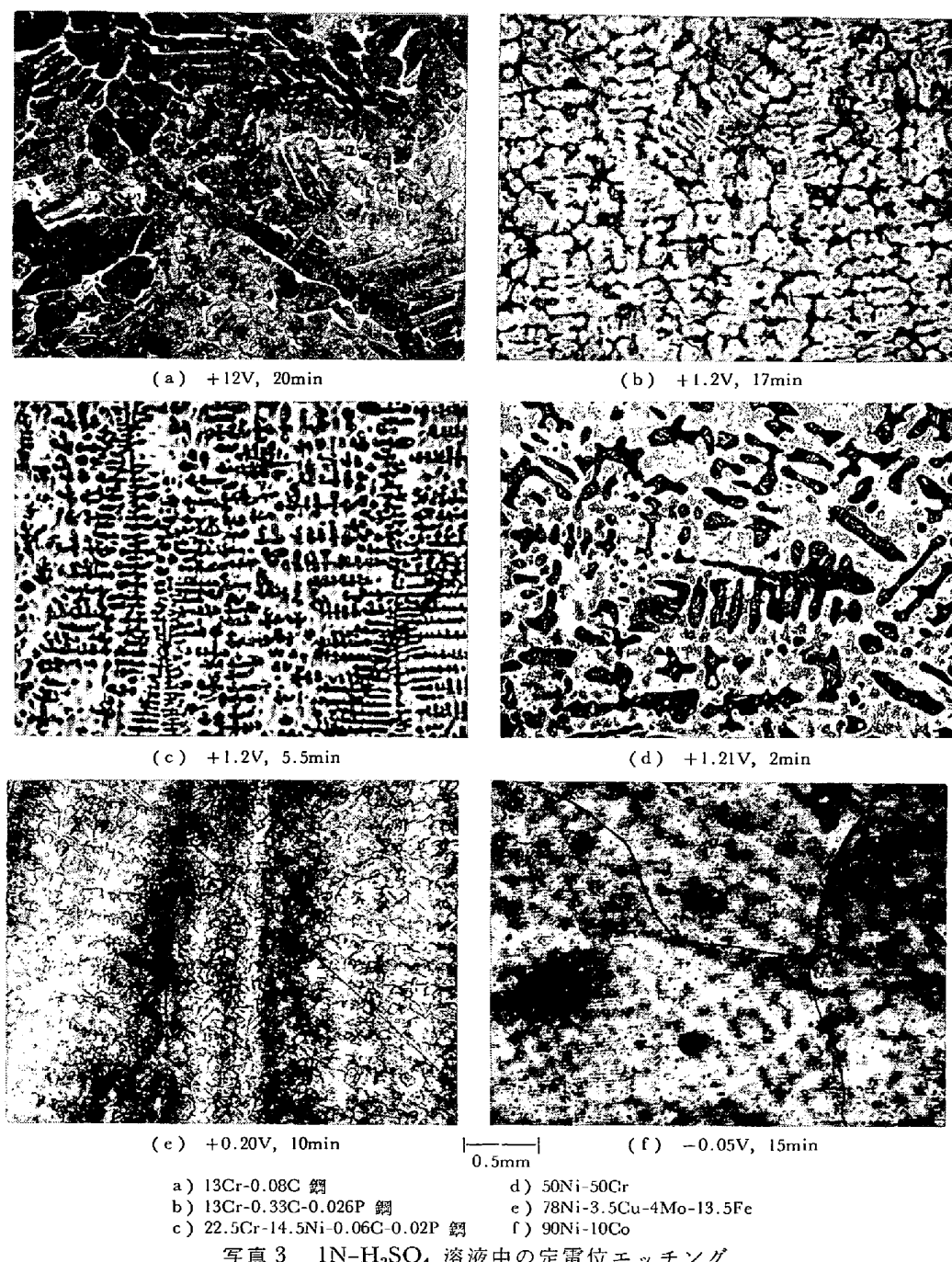
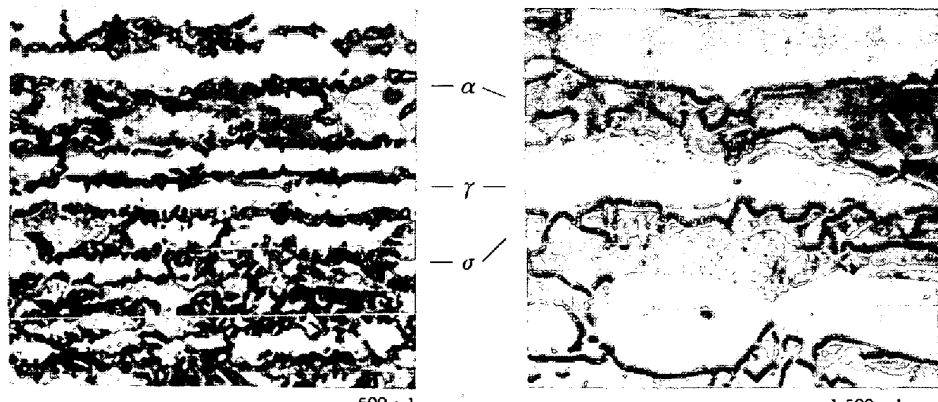
ノード分極曲線である⁹⁾。これらの分極特性をもとに 1N-H₂SO₄ 中でそれらの試料を定電位エッティングした結果を写真2と3に示す。写真2はデンドライト組織の縦断面と横断面の組織を比較して示す。一般に Cr 含量の高い合金は過不働態域で良い結果がえられた。また縦断面に比べて横断面のエッティング速度は速い。

以上はいずれも硫酸酸性水溶液を用いた結果であるが NAUMANN ら⁹⁾は同様な手法により、アルカリ水溶液を用いて多相ステンレス鋼のエッティング可能な電位域を求めており、図8は 10N-NaOH 中における Fe-Cr-Ni 系合金の過不働態域におけるアノード分極曲線を示す。ステンレス鋼は常温アルカリ水溶液中では -1000mV 附近から不働態化し、活性態を示さない。図8に示すよう

図7 1N-H₂SO₄ 溶液中におけるアノード分極曲線⁷⁾

に、-200mV 以上でエッティング可能な電流がみとめられるようになり、+300mV 以上で酸素発生となる。硫酸溶液中の場合と同様に過不働態では Cr 含量が高いほど溶解速度が大きい。また、一定 Cr 量では Ni 量とともに溶解が阻止される傾向がある。写真4⁸⁾は 22.45%Cr, 4.94%Ni, 1.62%Mo 組成のステンレス鋼を 1050°C 溶

写真2 各種試料の 1N- H_2SO_4 溶液中の定電位エッチング

写真3 1N-H₂SO₄ 溶液中の定電位エッチング写真4 10-NaOH, +100mV における 22.45Cr-4.94Ni-1.62Mo 鋼の定電位エッティング組織⁹⁾

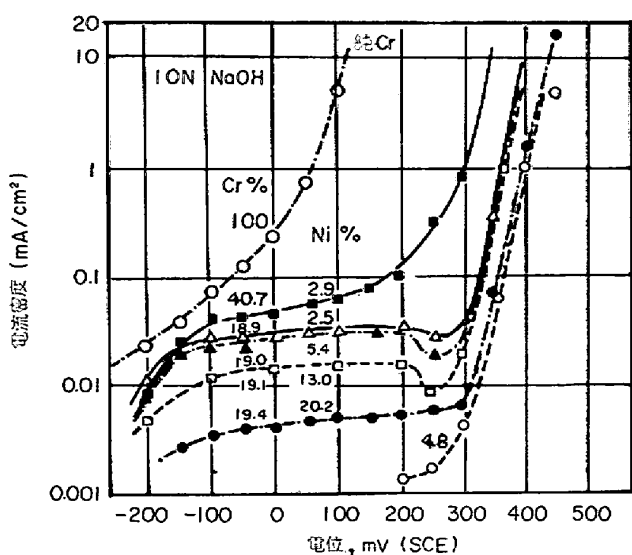


図8 10N-NaOH 中における Fe-Cr-Ni 合金のアノード分極曲線

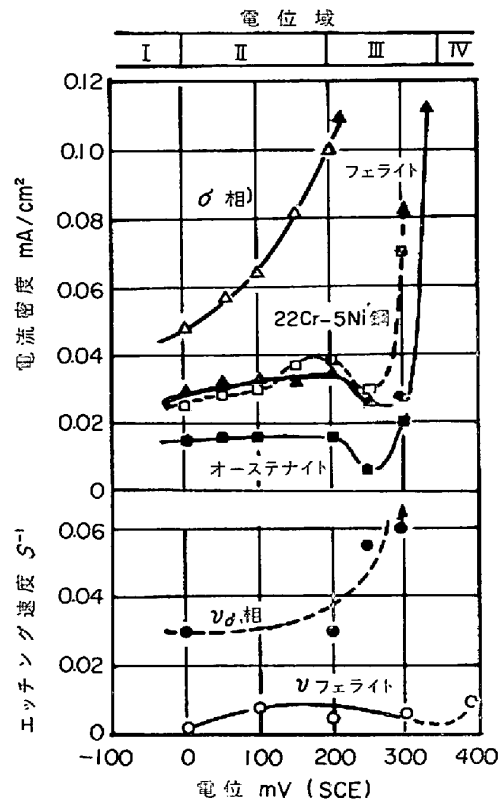


図9 10N-NaOH 中における電流密度およびエッティング速度の電位依存性

体化処理後、 700°C 、190hr 保持してえられたフェライト 11%、オーステナイト 59%、 σ 相 30% の3相組成の試料を +100mV で 4 min 保持したときのエッティング組織である。 σ 相が強くエッティングされ、ついでフェライトであり、オーステナイト相はほとんどエッティングされていない。NAUMANN⁹⁾は 10N-NaOH を用いた場合の各相のエッティング速度と電位の関係を図 9 のごとく示している。

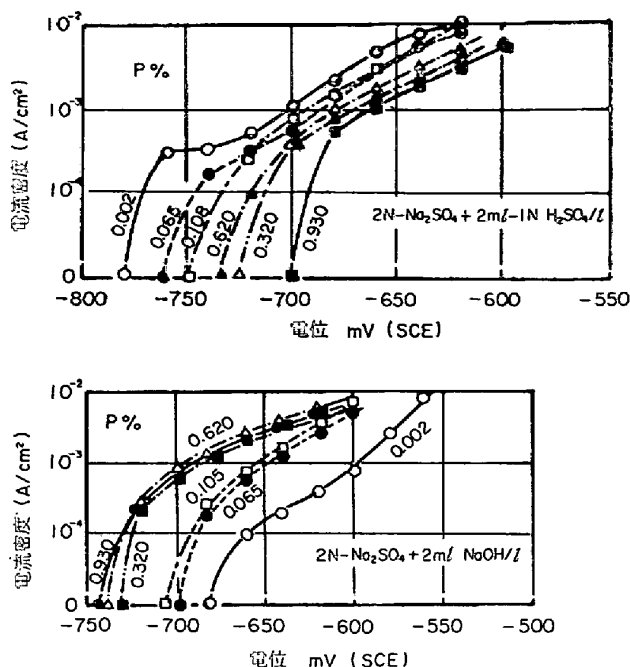


図10 Fe-P 合金のアノード分極曲線

る。すなわち、領域I(0mV以下)ではほとんどエッティングされないが、高Cr域がわずかに溶解する。領域IIは高Cr域とフェライト相がエッティングされる。領域IIIではフェライト相はほとんど溶解せず、高Cr域が強くエッティングされる。領域IV(+350mV以上)ではフェライトは弱く、 σ 相が強くエッティングされ、被膜の生成がみとめられる。結局、 α 、 γ および σ 相を含むような合金では電位域IIが最もよい結果を与えるとしている。

このように、Fe-Cr-Ni系のエッティングは酸性溶液でもアルカリ溶液を用いた場合も過不動態域でよい結果がえられるが、アルカリ溶液を用いた場合、 Cr^{+6} 溶解とともに同時に溶解するFeが酸化物として再析出することにより着色する二次的効果が期待される。

2.4 Fe-P系¹⁰⁾

オーバーホッファー氏液を用いてPの偏析をみるとP濃度が低いデンドライト幹部がエッティングされ、Pが高いデンドライトと枝間部はエッティングされない。ピクランでエッティングした場合はオーバーホッファー氏液とは逆にPの高い部分が褐色の析出物で覆われる。このようにオーバーホッファー氏液では電気化学的に卑である高P濃度域にCu析出が起こらないことになる。図10は2N-Na₂SO₄にNaOHを添加したアルカリ溶液および2mL-H₂SO₄/lを加えた酸性溶液中におけるFe-P合金(0.002~0.06%C)のアノード分極曲線に及ぼすP含量の影響をみた結果である。アルカリ溶液中では、Pが低くなるとともに分極曲線は貴な電位に移る。他方、酸性液ではPが低いほど卑な電位に移っている。したがつて、アルカリ溶液では一定電位に保持した場合Pの高い部分がエッティングされるのに対し、酸性液ではPの低い方がエッ

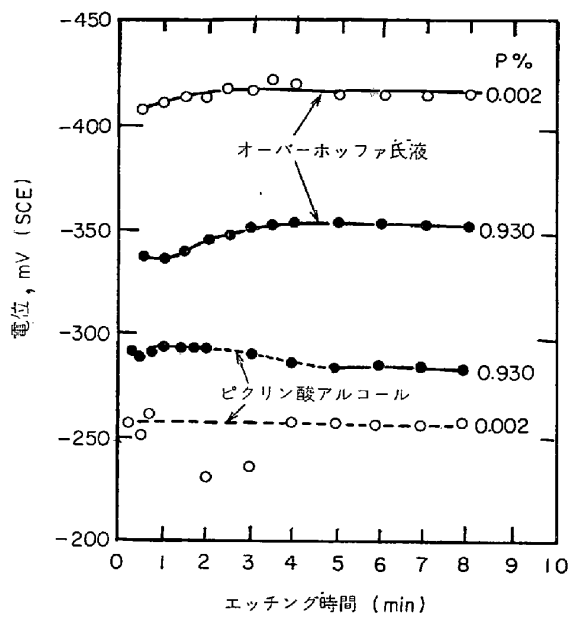


図11 オーバー・ホッファ氏液およびピクリン酸アルコール中における Fe-P 合金の自然電位

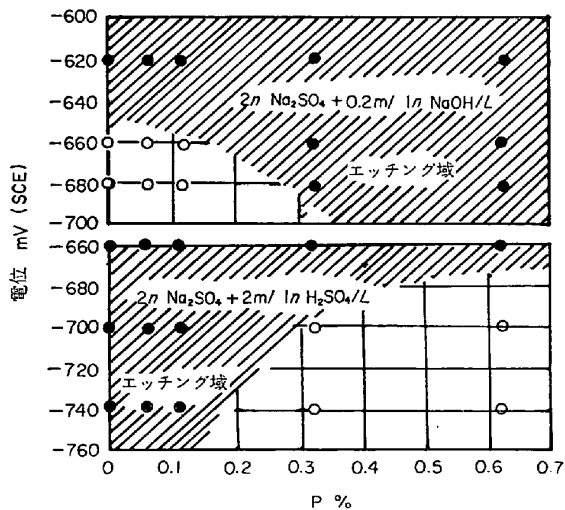


図12 P 含量とエッティング可能な電位域の関係

チングされやすく、オーバー・ホッファ氏液によるエッティングと同様な結果となる。図 11 はオーバー・ホッファ氏液およびアルコールピクリン酸溶液中における Fe-P 合金のエッティング時における自然電位の経時的変化を示す。図 10 の場合のようにオーバー・ホッファ氏液では P の高い方が貴な電位を示し、ピクリン酸では P の低いほうが貴となっている。NAUMANN ら¹⁰⁾は Fe-P 合金の P 含量によるエッティング可能な領域を図 12 のごとく示している。図から明らかのように、酸性液では 0.3% P 以下の部分が -700～-740mV でエッチされ、アルカリ液では 0.1% P 以上の部分が -660～-680mV でエッチされることを示している。写真 5 は 0.006% C, 0.32% P 合金を 1000°C で 6 hr 加熱冷却したときの組織写真で左側はアルカリ溶液で -680mV、右側には酸



写真 5 Fe-0.006C-0.32P 合金の定電位エッティング¹⁰⁾

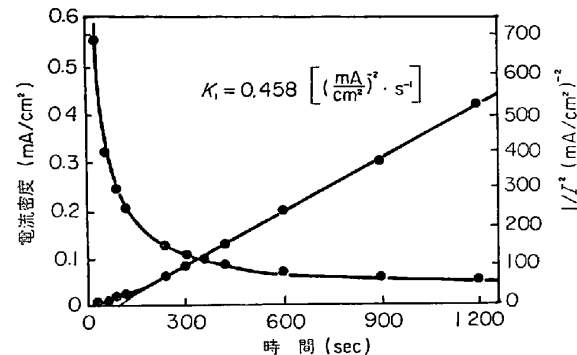


図13 Fe-4.88Si 合金の定電位電解における電流の経時変化

性溶液で -700mV に保持した場合である。写真にみられるように、3% P を境として酸とアルカリではエッティング像が反転するのが認められる。

2.5 Fe-C-Si 系¹¹⁾

Si の偏析を顕出する場合には Si のみを溶解させることはできないので、Si 濃度の差によって厚さの異なる被膜を成長させ、その色調の差によって区別することになる。アルカリ溶液中では Si を含む鉄上の皮膜成長は放物線則に従う。図 13 は 4.88% Si 試料を 20°C, 1.4N-NaOH 溶液中で +100mV の一定電位に保持したときの電流の経時変化を示している。電位設定直後には高い電流が流れるが次第に減衰していく。この電流は皮膜の成長速度に対応する。この関係を $1/I^2$ と時間の関係にプロットし直すと、ほぼ 1 min 以降は直線となり、放物線則に従つて成長することを示す。このときの成長速度定数は $2/\sqrt{K_1}$ で表わされる。図 14 は Si 濃度に対する成長速度定数の変化を示す。同図にみると、皮膜の成長速度は Si 量の増大とともに皮膜のイオン伝導性の増大に依存している。皮膜のイオン伝導性、したがつて成長速度定数の Si 濃度依存性により金属表面の Si 量に応じた皮膜厚さを与え、Si 偏析による着色模様を呈することになる。しかし、20°C, +100mV という条件は酸素発生の副反応がないので成長速度則を評価するには

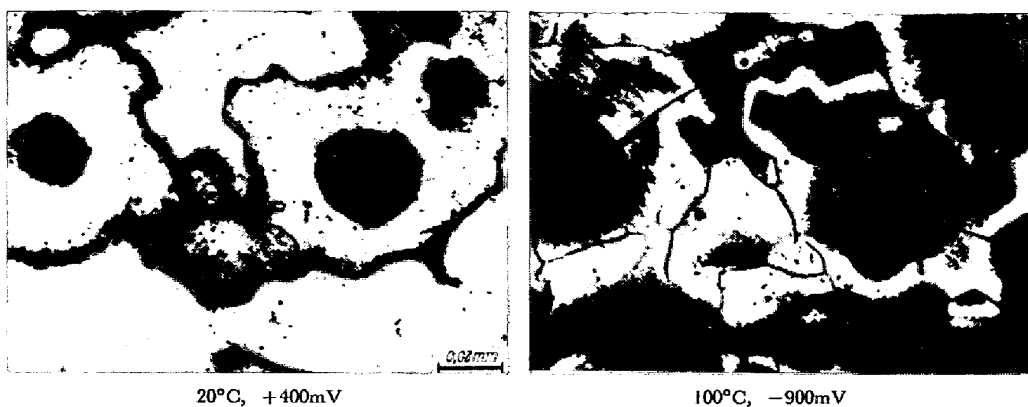
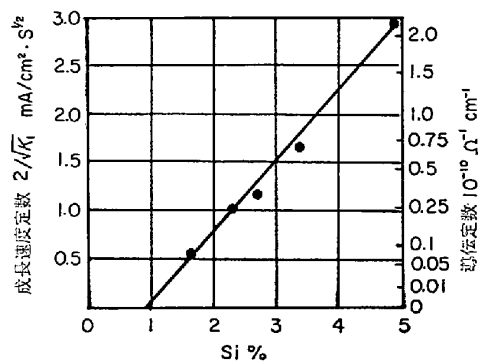
写真6 3.9%C, 2.7%Si 鋳鉄の定電位エッティング¹¹⁾

図14 鋳鉄中の Si 含量と皮膜の成長速度定数の関係

好都合であるが、皮膜成長速度が低いのでエッティングに対して長時間を要する。そこでエッティング速度を上げるには電位を貴にするか、温度を高めることが考えられる。写真6は3.9%C, 2.7%Si 鋳鉄のSi偏析を20°Cで電位を+400mVに上げた場合と、-900mVで温度を100°Cと高くした場合について比較した結果である。球状黒鉛の周囲は3.5%Siの高濃度の相でかこまれ、やや薄い部分は1%Siに減じている様子を示している。

2.6 鋼中の炭化物、窒化物

粒界の脆性あるいは粒界腐食を解明する手がかりとして、ステンレス鋼中の炭化物を顕出しようとする場合、理想的なエッティング条件はマトリックスの溶解速度に比べて析出炭化物の溶解速度は十分に小さいことである。HERBSLEB¹⁷⁾はボテンショスタットを用いてこのような条件を実現する方法について検討し、化学エッティングの条件とも比較することによって炭化物の電子顕微鏡観察のための試料準備法を調べている。

図15はフェライト系ステンレス鋼(0.12%C, 18.0%Cr, 0.14%Ni, 0.02%N)を用いて750°C, 3 hr 加熱水冷した試料と、その後さらに900°Cに1hr焼鈍した試料について25°C, 2N-H₂SO₄溶液中で求めたアノード分極曲線である。図において実線は各電位に24hr保持して求めた腐食速度と電位の関係を示し、点線は通常の電位-電流曲線である。-100~75mV_H(標準水素電

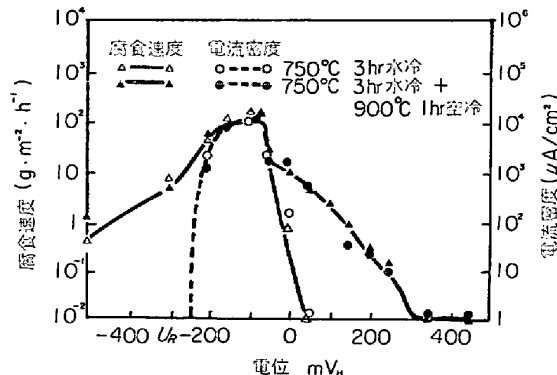
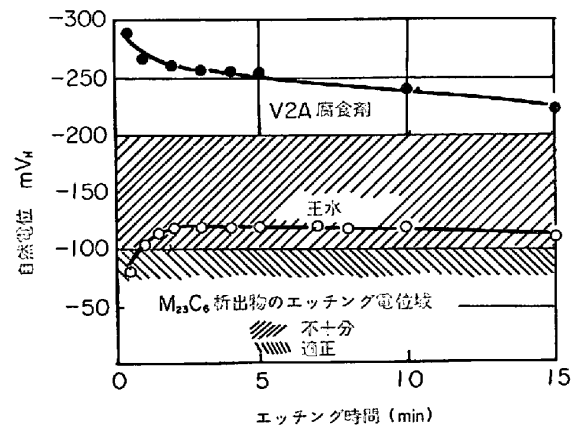
図15 25°C, 2N-H₂SO₄ 中における 18Cr 鋼の腐食速度および分極電流の電位依存性

図16 V2A 腐食液および王水中における-18Cr 鋼の自然電位の経時変化

極基準)の活性態域で最も高い溶解速度を示すのに対し-500~+100mV_HではM₂₃C₆はほとんど溶解しないことが知られている。したがつて、-100~75mV_Hに保持するのがエッティングに最も都合がよい。図16は同じ鋼をV2A腐食液(50ml HCl, 5ml HNO₃, 添加剤, 50ml H₂O)および王水中で化学エッティングしたときの電位の経時変化を示す。V2A液ではかなり卑な電位にあり、ほとんどエッティングされない。それに対し王水では-120mV_H付近にありエッティング可能であるが、ポ

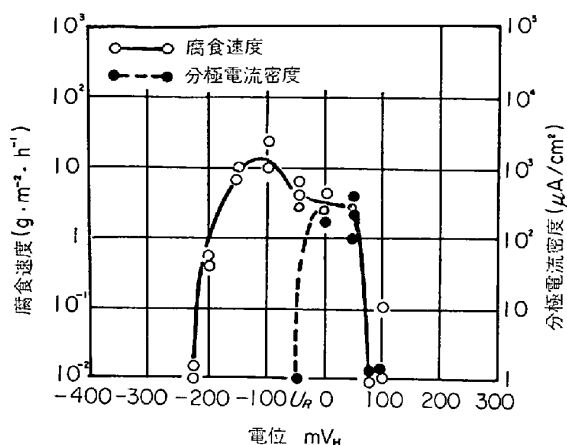


図17 60°C, 2N-H₂SO₄ 中における 18Cr-9Ni 鋼の腐食速度および分極電流の電位依存性

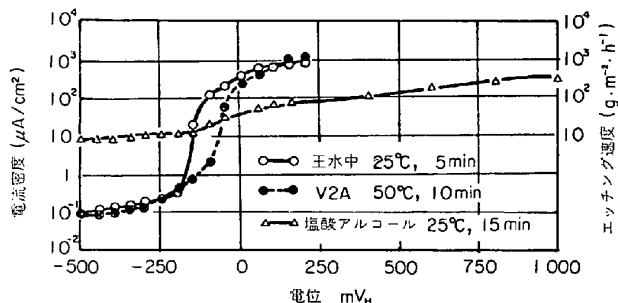


図18 不動態化しないエッティング溶液中における 18Cr-9Ni 鋼のアノード分極曲線

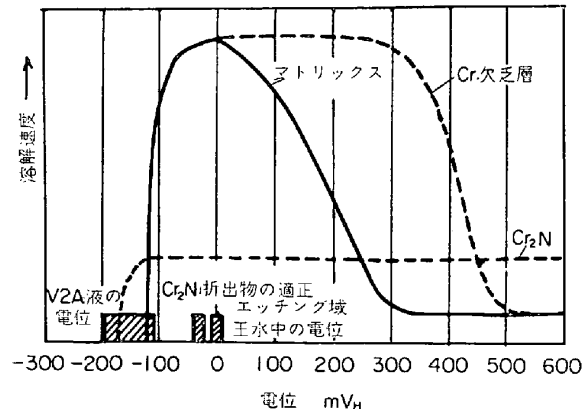


図19 2N-H₂SO₄, 25°C におけるマトリックス、Cr 欠乏層、窒化物の溶解速度に及ぼす電位の影響

テンショスタットで -75~-100mV_H に定電位保持したときのようなよい結果はえられないことが推測される。

オーステナイト系ステンレス鋼の場合もほぼ同様な可能性があり、図 17 は 0.07%C, 18.24%Cr, 9.24%Ni 0.025%N 組成の鋼について 60°C, 2N-H₂SO₄ 中におけるアノード分極曲線および腐食速度-電位曲線を示す。この酸溶液では -200~-50mV_H のカソード電位域でも溶解しているのが知られる。しかし、-200~0mV_H

の狭い電位域でのみ良好なエッティングを与える。一般に硫酸溶液中では活性-不動態-過不動態の遷移を示し、良好なエッティングを与える条件は活性態の狭い領域に限られる。図 18 は王水、V2A および塩酸アルコール溶液中におけるオーステナイトステンレス鋼のアノード分極曲線を示す。王水と V2A の場合は硫酸中のような不動態現象を示さないので -500~0mV_H の広い電位範囲で良好な結果がえられる。さらに高い電位でもエッティングできるが表面を粗くするとともに沈殿物を生じてきれいな写真がえられないとしている。一方、塩酸アルコール溶液では -350~+1800mV_H と広い電位域で不動態化しないので都合がよい。図 19 は同様に 0.007%C, 17.30%Cr, 14.16%Ni, 0.23%N 組成の鋼について 25°C, 2N-H₂SO₄ 中でのマトリックス、クロム欠乏層、および Cr₂N の溶解速度の電位依存性を模式的に示したものである。+50mV_H 付近が Cr₂N とマトリックスとの溶解速度の比が最も大きく硫酸中での Cr₂N 析出物の顕出に都合のよい電位である。+100mV 以上でもエッティング可能であるが、+100~+500mV_H では粒界腐食感受性が大となる。王水によるエッティング電位は硫酸中の最適エッティング電位に近いことがわかる。

NAUMANN ら¹³⁾は 10N-NaOH 溶液中において Fe₃C, M₃C, および M₂₃C₆ の分離を与える電解条件を求めており、また LANGESCHEID¹⁴⁾らは Fe₃C と Fe₃P の区別する方法について検討しており、8N-NaOH では -750 mV に保持することにより Fe₃C が着色し、Fe₃P, Fe₄N はエッチされず、1.25N-NaOH では -200mV に保持したとき Fe₃C が着色し、Fe₃C, Fe₄N は輝いたままであることから、定電位法によって炭化物、窒化物の区別が可能となる。

3. 定電流式電解エッティング

従来から行なわれている定電流電解エッティングでは端子電圧または電流規制によって条件が設定されるので、試料の電位は一定に保たれない。すなわち、陽極と陰極の間にかかる端子電圧 (E_B) は陽極電位 (E_a 、試料の電位)、溶液による電圧降下 (E_s) および陰極電位 (E_c) の総和、

$$E_B = E_a + E_s + E_c \dots \dots \dots (3)$$

であり、対極すなわち陰極の電位 E_c は反応の進行に伴つて経時的に変化する。 E_s は溶液の電気抵抗にもとづく IR 降下であるから、電解槽の幾何形状、試料と対極の位置関係によって変化するものであつて、 E_B を一定にしても E_a を一定に保持できないことは明らかであろう。これらの事情からわかるように、適正なエッティング像をうるための電位域が狭い場合には是非ともポテンショスタットの使用によつて試料を一定電位に保つことが必要である。図 4 に示したステンレス鋼のアノード分極曲線において活性態ピーク電流と同程度の電流で電解エ

ッティングを行なつたとすると、原理的にはエッティング時の電位が活性態域に保持されたり、過不働態に移つたりする可能性がある。すでに述べたように、活性態と過不働態ではエッティングされる相が異なるためエッティング像は再現性が悪い。しかし活性態ピーク電流自体が十分小さいか、活性態ピーク電流より十分高い電流でエッティングすれば必然的に試料電位は過不働態にとどまることになる。例えば、ステンレス鋼の定電流電解エッティングでは10% モリブデン酸溶液がよく用いられる。それは弱酸性のモリブデン酸溶液中では活性態の山が小さく、必然的に過不働態域で電解が行なわれるためであり、また、モリブデン酸溶液中における鉄は錯塩を形成して高い溶解度を与えるため過不働態域における溶解速度が硫酸などに比べて高いことがよい結果をうる原因と考えられる。

これらの知識をもとに従来の定電流電解エッティング法をみると図20に示すような二つのケースに分類されよう。すなわち、同図a)はステンレス鋼のような不働態化しやすい合金の場合で、電解エッティング時の電位が必然的に過不働態(E_{a1})に保持されており、他方、b)で示すように不働態化しない炭素鋼のような場合は定電流エッティングを適用すると、活性態域で自然電位 E_{R2} から E_{a2} に電位がわずかに移動する効果と、エッティング速度を加速する効果を利用していることになる。

4. 化学エッティング

炭素鋼の化学エッティング液としては2~5% HNO_3 のアルコール溶液であるナイタール、およびピクリン酸のアルコール溶液であるピクラールが古くから知られている。また、鋼塊の凝固組織の顕出にはオーバーホッファ氏液やフライ氏液がよく用いられる。このように、化学エッティング液の主成分は酸、アルコールおよび酸化剤からなるものが最も多い。アルコールは溶液の電気抵抗を高くし、エッティング速度を抑制する働きがある。酸化剤は腐食を促進するとともに、エッティング時の電位を変化させる作用があり、酸化剤の種類と濃度を変化させることによってポテンショスタットで電位を変化させるのと

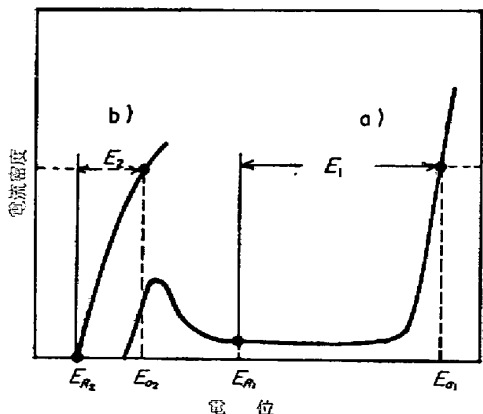


図20 定電流電解エッティング時における試料の電位

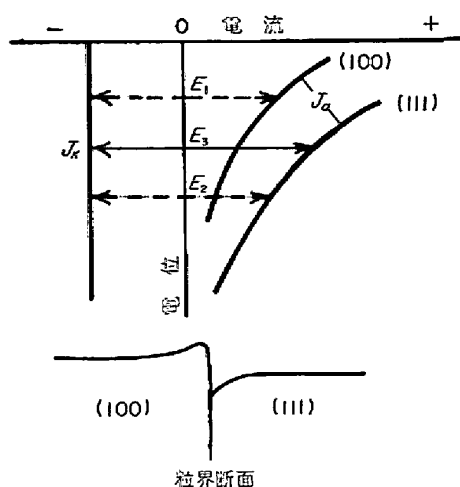


図21 Fe の分極特性と粒界断面

同じ効果を与えるものである。しかし、酸溶液中では高い酸化還元電位を示す酸化剤がないので、アルカリ溶液が用いられるが、村上氏液はこの種の腐食液として有名で高電位でエッティングされる。

4.1 粒界エッティング

ENGELL¹⁸⁾ は結晶方位の異なる鉄単結晶を用いて結晶方位による酸溶液中の鉄の溶解挙動を求め、その結果をもとに粒界のエッティング機構について考察している。図21は希薄硝酸溶液による粒界エッティングに対する電流-電位曲線の模式図である。同図の横軸は電流、縦軸は電位をとっている。 J_a で示す二つの曲線は (100) 面および (111) 面の鉄単結晶のアノード分極曲線(Fe の溶解)であり、 J_K は両単結晶に共通なカソード分極曲線を表わしている。カソード反応、



によって NO_3^- が消費されるので、反応速度は溶液沖合から電極界面への NO_3^- イオンの拡散速度に律速され、カソード分極曲線 J_K は電位に依存しない電位軸に平行な線として表わされている。(100) 方位の単結晶と(111) 方位の単結晶を希硝酸中に浸漬した場合、それら E_1 および E_2 で示す自然電位で溶解するとき、これら二つの単結晶をつなぎ合せてできる粒界では両結晶は同じ電位をとらなければならないから、自然電位は E_3 に移動する。その結果、図21に示すように粒界では両単結晶の溶解速度の差が大きくなる。すなわち、(100) 面の溶解速度が減ずるのに対し、(111) 面は増大することになり、その結果として同図下段に示すような粒界断面となることを示している。このように隣合う結晶の各々のカソードおよびアノード分極挙動の組合せによつて図22に示すような種々のエッティング像があらわれる可能性が考えられる。a) では両結晶が同じアノード分極挙動を示すのに対し、A結晶はB結晶よりカソード分極が大きい場合で、A、B結晶境界では点線で示すような同じ溶解速度で溶解し境界から遠ざかるにともなつて個

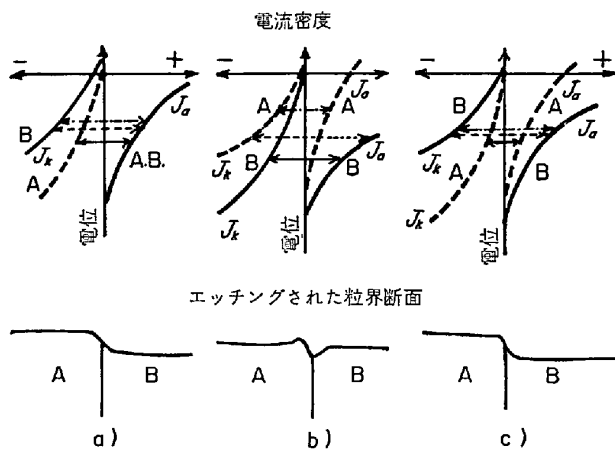


図22 分極特性とエッチングされた粒界断面

々の結晶粒の溶解速度に近づくことになる。その結果、同図下段に示すように傾斜をもつた粒界断面を与える。その勾配は溶液の電気伝導度に依存し、伝導度が低いと接触腐食電流が及ぶ範囲は狭くなり腐食は結晶粒界に集中し、勾配は急になるため、粒界が鮮明にあらわれる。ナイタールはアルコールを含み溶液の電気抵抗が高いので粒界を現出させるのに有効なエッティング剤である。図22 b) は A 結晶のアノード分極が大で、カソード分極が小さく、B 結晶は逆にアノード分極が小で、カソード分極が大きい場合である。また、c) 図は A 結晶のアノード及びカソード分極とも小さく、B 結晶は逆に両反応とも分極が大きい場合で、それぞれ同図下段に示すような粒界断面を与えることが推測される。

4.2 多相合金の化学エッティング

以上にのべたのは単相で結晶方位によるエッティング速度の差によって粒界を現出させた。多相合金では金属の電気化学系列から推測されるように合金元素や合金相の溶解が特定な電位で起こる。この性質を利用してポテンショスタットにより示差エッティングを行なうことはすでにのべたとおりである。化学エッティングではポテンショスタットの代わりに酸化剤の種類や濃度を変えることによってエッティング電位を与えることである。したがつて、酸化剤の種類と濃度の組合せによつて種々のエッティング溶液をつくることが可能であり、事実、これまでに開発されたエッティング溶液はきわめて多数にのぼつていることからも明らかであろう。

さて、凝固組織の顕出によく用いられるフライ氏液は酸化剤として塩化第2銅を含む塩酸酸性溶液である。図23はフライ氏液による鉄の分極模式図を示し、縦軸は電位、横軸は対数目盛の電流を表わし、右上りの直線はアノード反応、右下りは酸化剤の還元反応(カソード反応)の分極曲線である。希塩酸に塩化第2銅を添加すると、水素イオンの還元反応に比べて、 $Cu^{2+} + 2e \rightarrow Cu$ による銅の析出反応が容易に起こるため、エッチング時の電位は E_1 から E_2 に貴方向に移り、エッチング速度は i_1 か

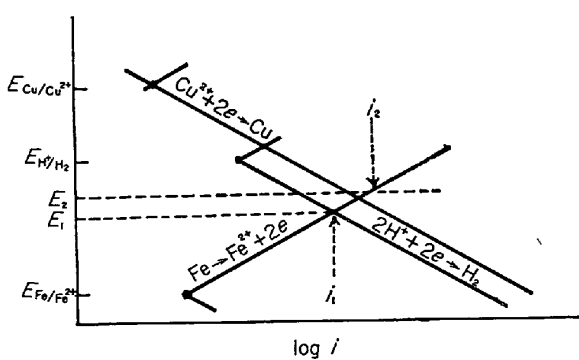


図23 フライ氏液における鉄の分極模式図

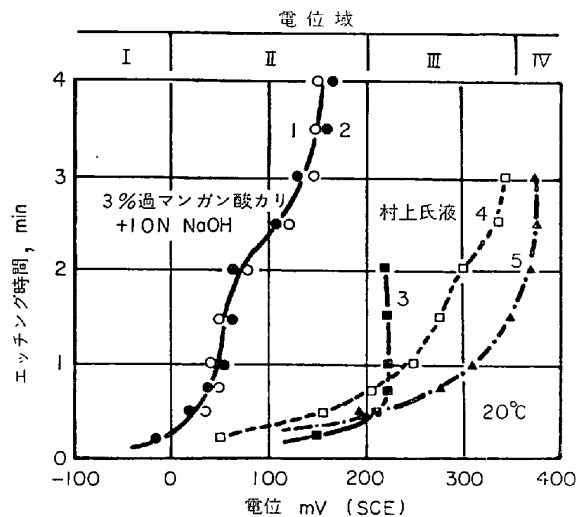
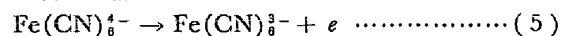


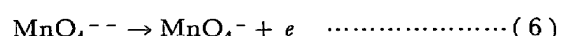
図24 3%過マンガン酸カリ+10N-NaOH および
村上氏液中における 22.45%Cr-4.94%Ni-
1.62%Mo 鋼の自然電位の経時変化

ら i_2 へと増大する。この塩化第2銅の濃度が高いと全面が Cu の析出で黒くなるが、適当な濃度を選ぶと、強加工部に優先的に Cu 析出が起り、強加工部位を検出するといわれている。また、オーバーホッファ氏液は酸化剤として塩化第2銅のほか、塩化第2錫、塩化第2鉄などを含むやや複雑な組成であるが、原理的には図 23 の場合と同様な機構によりエッチング時の電位および電流を微妙に左右しているものと考えられる。

一方、村上氏液は高合金鋼や炭化物のエッチングに有効な試薬として有名である。図24は村上氏液および3% $KMnO_4 + 10N-NaOH$ 溶液を用いてステンレス鋼をエッチングしたときの自然電位の経時変化を示す。同図上段に定電位エッチングの電位区分（図9参照）を示してある。村上氏液では



のレドックス反応を、3%過マンガン酸アルカリ溶液では、



のレドックス反応を利用している。過マンガン酸カリ溶液を用いた場合のエッティング時の電位は電位域Ⅱの範囲

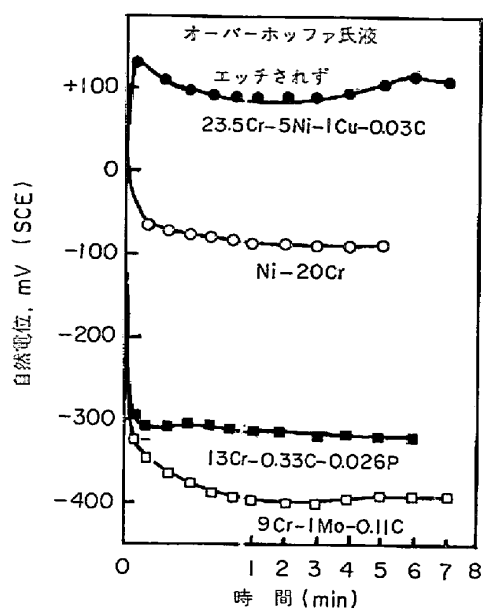


図25 オーバー・ホッファ氏液中における自然電位の経時変化

にとどまり、使い古した液でもほとんど変わらず電位域Ⅰの組織を顕出する。それに対して村上氏液では最初、電位域Ⅱにあるが、時間とともに電位域ⅢからⅣにまで変化し、古い液では一層貴な電位に移る傾向がある。このように適当な酸化剤を選ぶとポテンショスタットによる定電位エッチングに対応した組織が化学エッチングでえられる理由が知られよう。図25はCr含量が異なる4種の合金をオーバー・ホッファ氏液に浸漬し、試料電位の経時変化を実測した結果である。同図にみるように、Cr含量の高いほど貴な電位を示し、図7と比較すれば9Cr-1Mo-0.11C, 13Cr-0.33P-0.026PおよびNi-20Crの電位はいずれも活性態にあるが、23.5Cr-5Ni-1Cu-0.03Cの電位は不働態域にあり、事実、この試料はオーバー・ホッファ氏液でエッチングはむずかしい。いずれにしても、この4種類の合金はオーバー・ホッファ氏液を用いては過不働態域まで電位を高めることはできない。表1は化学エッチングに用いられる酸化剤の種類と標準酸化還元電位を示す。一般に酸化還元電位の高い酸化剤を用いるほど高電位域でのエッチング組織がえられる。

一方、図26は酸化剤の濃度によってエッチング時の電位がどのように変化するかを模式的に示したもので、実線で示すアノード反応はステンレス鋼にみられるような活性-不働態遷移を示す場合である。酸化剤の濃度が低いと、酸化剤の還元反応曲線は1または2で示すようにアノード分極曲線とAまたはBで交るため、ポテンショスタットを用いて活性態域に保持したと同様な組織が得られよう。酸化剤濃度が増し、曲線4, 5のような場合には不働態域で交叉するためエッチングは期待できない。さらに酸化剤濃度が増し、曲線6, 7のようにアノード

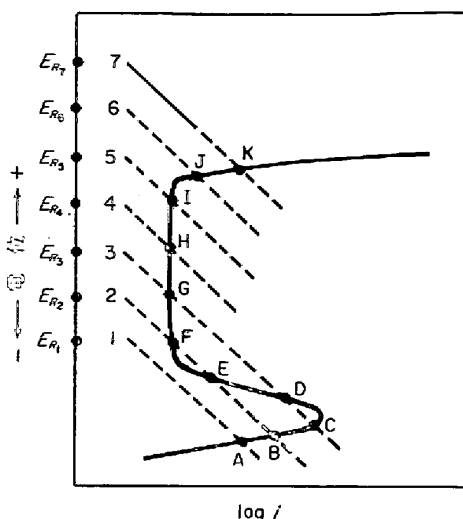


図26 酸化剤濃度とエッチング電位の関係

表1 酸化剤の標準酸化還元電位 (E°)

電極反応	$E^\circ, V(NHE)$
$2H^+ + 2e = H_2$	0.0
$Sn^{4+} + 2e = Sn^{2+}$	+0.15
$Cu^{2+} + 2e = Cu$	+0.337
$Fe(CN)_6^{4-} + e = Fe(CN)_6^{3-}$	+0.36
$MnO_4^- + e = MnO_4^{2-}$	+0.564
$Fe^{3+} + e = Fe^{2+}$	+0.771
$NO_3^- + 3H^+ + 2e = HNO_2 + H_2O$	+0.94
$O_2 + 4H^+ + 4e = 2H_2O$	+1.229
$Cr_2O_7^{2-} + 14H^+ + 6e = 2Cr^{3+} + 7H_2O$	+1.288
$Ce^{4+} + e = Ce^{3+}$	+1.61
$H_2O_2 + 2H^+ + 2e = 2H_2O$	+1.776
$S_2O_8^{2-} + 2e = 2SO_4^{2-}$	+2.01
$F_2 + 2H^+ + 2e = 2HF(aq)$	+3.06

ード分極曲線と過不働態で交叉すると過不働態特有のエッチング組織がえられよう。

以上に述べたように、レドックス系を用いた化学エッチングの特徴はポテンショスタットを用いる電気化学的方法に比べると金属-液界面で酸化剤が消費され酸化電位が時間とともに下ること、Cuイオンを含む溶液ではCu析出によつて表面が汚れることなどが欠点であろう。しかし、化学エッチングで簡単に組織を顕出することができればポテンショスタットのような面倒な装置を使う必要がない利点があることは言うまでもない。

5. まとめ

金属組織を顕出するためのエッチングを行なおうとする場合、きわめて多数のエッチング溶液の中から対象とする材料および目的に最も適したものを見出すことはなかなか容易ではない。その原因は数多くの腐食液がその特性に基づいて系統的に分類されていないこと、エッチングを行なう際の指導原理が確立されていないことによるものであろう。本文ではエッチング操作が腐食現象にほかならないことから、まず、その電気化学的機構の

理解を容易にするためポテンショスタットを用いた定電位エッティング法について検討し、それをもとに従来の化学エッティングの機構を振り返った。そして定電位エッティング法は再現性のよい結果をうるとともに、通常の化学エッティングでは組織顕出が困難な系に対しても顕出の可能性があることを知つた。しかしながら、C, S, Pなどの溶質成分の少ない試料の顕出や、一次組織と二次組織をエッティングによって区別することなど凝固組織の顕出においても今後検討すべき問題が残されている。一般に検鏡が可能なコントラストをうるためには一相が他相の5倍以上の選択溶解性が必要であるとされている。したがつて、微量成分の偏析を顕出するためには選択溶解よりもむしろ皮膜の成長速度の差異を利用した組織顕出法を考えるべきであろう。

一方、エッティングを金属組織顕出のための手段として利用するものにとつては目的に応じた腐食液とエッティング条件を簡単に選び出し、迅速かつ確実に組織を顕出することこそ最も望まれるところであり、そのような観点から、定電位エッティング法を含めて従来から知られている腐食液の系統的な分類が期待される。

終わりに、本稿をまとめるにあたり、種々のご便宜、ご助言を賜りました金属材料研究所製錬研究部室長、郡司好喜博士、および同所腐食防食研究部室長、小林豊治氏に深く感謝致します。

文 献

- 1) 郡司、岡本: 鉄と鋼, 61 (1975) 6, p. 884
- 2) C. EDELEANU: JISI, 185 (1958), p. 68
- 3) M. PRAZAK: Werk. u. Korr., 9 (1958), p. 517
- 4) 岡本、三谷、伊藤: 日本国金属学会誌, 23 (1959), A-351, 伊東、岡本: 日本国金属学会誌, 24(1960) p. 109
- 5) N. D. GREENE, P. S. RUDAW, and L. LEE: Corr. Sci., 6 (1966), p. 371
- 6) H. LÜDERING: Arch. Eisenhüttenw., 30 (1959) 10, p. 605
- 7) R. OLIVER: Int. Com. Electrochem. Therm. and Kinetics, (1955), p. 34
- 8) 藤井、小林: 未発表
- 9) W. SCHAARWÄCHTER, H. LÜDERING, and F. K. NAUMANN: Arch. Eisenhüttenw., 31 (1960) 6, p. 385
- 10) F. K. NAUMANN, G. LANGENSCHEID, M. HÜSER: Arch. Eisenhüttenw., 38 (1967) 2, p. 145
- 11) H. LÜDERING: Arch. Eisenhüttenw., 35 (1965) 2, p. 153
- 12) G. HERBSLEB, P. SCHWAAB: Arch. Eisenhüttenw., 44 (1973), p. 211
- 13) F. K. NAUMANN and G. LANGENSCHEID: Arch. Eisenhüttenw., 38 (1967), p. 463
- 14) G. LANGENSCHEID and F. K. NAUMANN: Arch. Eisenhüttenw., 36 (1965), p. 505
- 15) H. J. ENGELL: Arch. Eisenhüttenw., 29(1958), p. 73